

ЕЖЕМЕСЯЧНЫЙ НАУЧНО-ТЕХНИЧЕСКИЙ И УЧЕБНО-МЕТОДИЧЕСКИЙ ЖУРНАЛ

КЛЕИ. ГЕРМЕТИКИ. ТЕХНОЛОГИИ

9
2015



УДК 54.057

ИССЛЕДОВАНИЕ МЕХАНИЗМА ВЗАИМОДЕЙСТВИЯ ФУРФУРОЛАЦЕТОНОВЫХ СМОЛ С ПОЛИАМИНАМИ*

И.В. Бессонов, М.Н. Копицына, А.В. Полежаев, канд. хим. наук, В.А. Нелюб

МГТУ им. Н.Э. Баумана, МИЦ КМ

(105005, Москва, 2-я Бауманская ул., д. 5, стр. 1; e-mail: ivanbessonov@gmail.com)

Статья поступила 02.04.2015

Представлены результаты изучения реакции фурфуролацетоновых смол и их основных компонентов —mono- и дифурфурилиденакетонов — с алифатическими полиаминами и ангидридами органических кислот. Показано, что фурфуролацетоновые смолы способны отверждаться под действием полиаминов и не реагируют с ангидридами кислот. Предложен вероятный механизм протекания реакции с полиаминами.

Ключевые слова: фурфуролацетоновые смолы, алифатические полиамины, отверждение

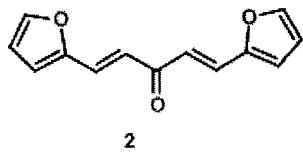
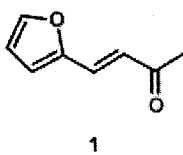
Введение

В настоящее время эпоксидные смолы активно применяют при создании широкого спектра изделий. Как правило, эпоксидные смолы используются в составе сложных композиций, которые должны удовлетворять технологическим требованиям по вязкости, прочности, температурной устойчивости, адгезии к различным материалам и т.д. [1–6]. Процессы формования изделий из полимерных материалов, такие как вакуумная инфузия и RTM, накладывают ограничение на максимально возможную вязкость композиции, которая не должна превышать 400–600 сПз. Ранее [7–10] было показано, что фурфуролацетоновые (ФА) смолы являются эффективными активными разбавителями для эпоксидных смол, которые позволяют существенно понизить вязкость последних, не оказывая при этом негативного влияния на температурную стойкость.

Эпоксидные смолы полимеризуются под действием отвердителей. Наиболее распространенными отвердителями эпоксидных смол являются полиамины, ангидриды органических кислот и кислоты Льюиса. Для полимеризации фурфуролацетоновых смол также требуется отвердитель, в качестве которого могут выступать сильные минеральные

кислоты, органические кислоты и кислоты Льюиса. Для точного расчета необходимого количества отвердителя и подбора оптимального режима отверждения композиций, состоящих из эпоксидной и фурфуролацетоновой смолы, необходимо знать механизмы отверждения этих соединений в присутствии общего отвердителя. В то время как реакции эпоксидных смол с различными отвердителями достаточно подробно изучены [11], информация о механизме совместного отверждения ФА-смол с эпоксидными смолами в литературе отсутствует. В связи с этим изучение механизма реакции отверждения фурфуролацетоновых смол в присутствии отвердителей, обычно применяемых для эпоксидных смол, является важной и актуальной с практической точки зрения задачей.

Фурфуролацетоновая смола представляет собой смесь олигомерных продуктов конденсации фурфурола с ацетоном в различных соотношениях. Основными компонентами ФА-смолы являются монофурфурилиденакетон (1) и дифурфурилиденакетон (2):



Мы синтезировали соединения 1 и 2 и использовали каждое из них в качестве модель-

* Отдельные результаты работ получены при финансовой поддержке по ГК 02.571.21.0007.

ного для изучения механизма взаимодействия ФА-смолы с отвердителями аминного и ангидридного типов, как наиболее широко применяемых среди отвердителей эпоксидных смол [8]. Кроме того, была синтезирована ФА-смола, содержащая компоненты 1 и 2 в мольном соотношении 1:1.

Экспериментальная часть

Спектры ЯМР ^1H были зарегистрированы на приборе Bruker Avance 400. Измерения ДСК проводили на приборе Netzsch DSC 204 F1 Phoenix в негерметичных алюминиевых тиглях в токе аргона со скоростью 10 °C/мин. ИК-спектры регистрировали на приборе Nicolet IS10 с использованием приставки НПВО (ZnSe) в диапазоне 400–4000 см $^{-1}$.

Синтез компонентов фурфуролацетоновой смолы. *Получение монофурфурилиденакетона (МФА).* К раствору, содержащему 48 г (0,5 моль) фурфурола и 46 г (0,8 моль) ацетона, прибавляли заранее приготовленный и охлажденный раствор щелочи (концентрация 1,13 М) так, чтобы температура реакционной смеси не поднималась более чем на 5 град. выше комнатной. После окончания реакции реакционную смесь нейтрализовали 50%-ным раствором серной кислоты до pH = 5, водный слой отделяли, органическую fazу промывали водой до нейтральной реакции, вновь отделяли и сушили в вакууме мембранных насоса 2 ч при 50 °C. Из полученной смолы выделяли монофурфурилиденакетон вакуумной перегонкой. Собирали фракцию при 123 °C и давлении 15 мбар. Продукт представляет собой маслянистую жидкость светло-желтого цвета, которая с течением времени при комнатной температуре превращается в твердое вещество, характеризующееся следующими показателями:

- $T_{\text{пл}} = 36\text{--}37\text{ }^{\circ}\text{C}$;
- ^1H NMR (CDCl_3 , 400 МГц): δ (м. д.) = 2,32 (с, 3Н); 6,49 (дд, 1Н, $J = 1,7; 3,4$ Гц); 6,62 (д, 1Н, $J = 16,0$ Гц); 6,67 (д, 1Н, $J = 3,4$ Гц); 7,28 (д, 1Н, $J = 16,0$ Гц); 7,51 (д, 1Н, $J = 1,7$ Гц);
- ИК-спектр: 3148, 3124, 3030, 2999, 1663, 1610, 1551, 1474, 882 и 750 см $^{-1}$.

Получение дифурфурилиденакетона (ДФА). К охлажденному до 16 °C раствору 19,2 г фур-

фурола (0,2 моль) и 5,8 г ацетона (0,1 моль) в 20 мл эквимолярной смеси изопропилового спирта и воды медленно добавляли 10%-ный раствор NaOH и перемешивали при комнатной температуре в течение 15 ч. Выпавшие желтоватые кристаллы отфильтровывали, промывали холодной водой и высушивали в вакууме мембранных насоса. Далее определяли характеристики полученного вещества:

- $T_{\text{пл}} = 50\text{--}53\text{ }^{\circ}\text{C}$;
- ^1H NMR (CDCl_3 , 400 МГц): δ (м. д.) = 6,50 (дд, 2Н, $J = 1,8; 3,6$ Гц); 6,69 (д, 2Н, $J = 3,6$ Гц); 6,91 (д, 2Н, $J = 15,6$ Гц); 7,48 (д, 2Н, $J = 15,6$ Гц); 7,51 (д, 2Н, $J = 1,8$ Гц);
- ИК-спектр: 3136, 3117, 3027, 1640, 1618, 1582, 1548, 1472, 882 и 740 см $^{-1}$.

Получение ФА-смолы. Реакцию проводили в трехгорлой круглодонной колбе, снабженной магнитной мешалкой, термометром и обратным холодильником. К раствору, содержащему 96 г (0,9 моль) фурфурола и 46 г (0,8 моль) ацетона, прибавляли заранее приготовленный и охлажденный раствор щелочи (50 мл, концентрация 1,13 М) так, чтобы температура реакционной смеси не поднималась более чем на 5 град. выше комнатной. После окончания реакции реакционную смесь нейтрализовали 50%-ным раствором серной кислоты до pH = 5, водный слой отделяли, органическую fazу промывали водой до нейтральной реакции, вновь отделяли и сушили в вакууме мембранных насоса в течение 2 ч при 50 °C. В результате образуется низковязкая темно-коричневая жидкость [9, 12], обладающая следующими характеристиками:

- ^1H NMR (CDCl_3 , 400 МГц): δ (м. д.) = 2,30 (с); 6,47 (м); 6,57 (д, $J = 15,9$ Гц); 6,61 (д, $J = 15,7$ Гц); 6,66 (дд, $J = 1,8; 3,4$ Гц); 6,90 (д, $J = 15,7$ Гц); 7,26 (д, $J = 15,9$ Гц); 7,44 (с); 7,48 (с); 7,50 (д, $J = 1,2$ Гц);
- ИК-спектр: 3121, 3047, 1662, 1654, 1614, 1551, 1474, 881 и 741 см $^{-1}$.

Исследование механизма реакции отверждения фурфуролацетоновых смол проводили на композициях (таблица): ФА-смола + отвердитель; МФА + отвердитель; ДФА + отвердитель. МФА и ДФА предварительно расплавляли, после чего добавляли отвердитель в расплав. Наиболее распространенными при-

Рецептуры исследованных композиций и их обозначение

Мольное соотношение компонентов	Компоненты композиции					
	МФА + ДЭТА	ДФА + ДЭТА	ФА-смола + ДЭТА	МФА + изо-МТГФА	ДФА + изо-МТГФА	ФА-смола + изо-МТГФА
	Обозначение композиции					
1:1	МФА_1а	ДФА_1а	ФА_1а	МФА_16	ДФА_16	ФА_16
2:1	МФА_2а	ДФА_2а	ФА_2а	МФА_26	ДФА_26	ФА_26
3:1	МФА_3а	ДФА_3а	ФА_3а	МФА_36	ДФА_36	ФА_36

работе с эпоксидными смолами являются аминные и ангидридные отверждающие агенты. Нами были выбраны наиболее типичные представители каждого класса — это диэтилентриамин (ДЭТА) и изо-метилтетрагидрофталевый ангидрид (ИМТГФА).

Полученные композиции подвергали ультразвуковой обработке на приборе Сапфир УЗВ-26 до получения однородной смеси. Затем каждую из композиций делили на три части — пробу для регистрации ИК-спектров, пробу для измерения методом дифференциальной сканирующей калориметрии и пробу для отверждения в термошкафу. При использовании ДЭТА в качестве отвердителя измерения методом ДСК проводили в диапазоне температур 25—150 °C, в случае ИМТГФА — в диапазоне 25—250 °C. Каждое измерение проводили дважды. Отверждение композиции в термошкафу проводили по следующим режимам:

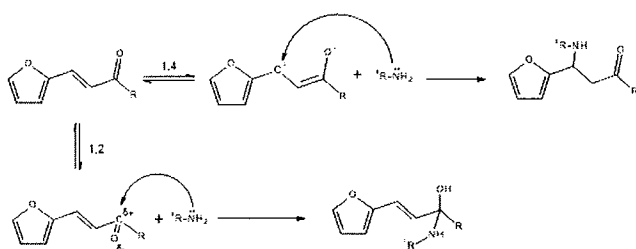
Отвердитель	Режим отверждения, °C/ч
ДЭТА.....	25/24 + 100/5
ИМТГФА.....	100/1 + 120/3 + 150/7

После завершения процесса полимеризации вещества измельчали в фарфоровой ступке и регистрировали ИК-спектр отверженных композиций. Полнота отверждения достигается за счет правильно подобранного режима отверждения, исходя из литературных данных, а также на основании проведенных экспериментов по отверждению в дифференциальном сканирующем калориметре.

Результаты и их обсуждение

Мы предположили несколько возможных путей протекания реакции между амином и фурфуролацетоновыми мономерами — это 1,2- и 1,4-присоединение амина к α,β -

ненасыщенному карбонильному соединению:



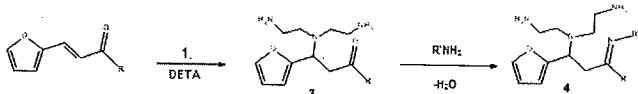
Известно, что амин является мягким нуклеофилом и склонен к 1,4-присоединению к непредельным кетонам, поэтому в ИК-спектрах следовало ожидать появления полосы поглощений несопряженной карбонильной группы в области 1700—1730 cm^{-1} , исчезновения полос колебаний двойной связи и смещения полос валентных колебаний C=C в фурановом ядре в длинноволновую область спектра. Наиболее характерные сигналы в исследованных фурановых соединениях приведены ниже, ИК-спектр МФА показан на рис. 1:

Частота, cm^{-1}	Отнесение полос поглощения
3115—3120	Валентные колебания связей =C—H в фурановых кольцах
3025—3070	Валентные колебания связей =C—H в двойных связях
1660—1665	Валентные колебания карбонильной группы, сопряженной с одной кратной связью
1640—1645	Валентные колебания карбонильной группы, сопряженной с двумя кратными связями
1610—1618	Валентные колебания двойной C=C-связи в боковой цепи
1548—1552	Скелетные колебания фуранового ядра
1472—1474	Валентные колебания C=C-связей в фурановых кольцах
881—882, 740—750 ..	Деформационные плоскостные и внеплоскостные колебания связей =C—H в фурановых кольцах

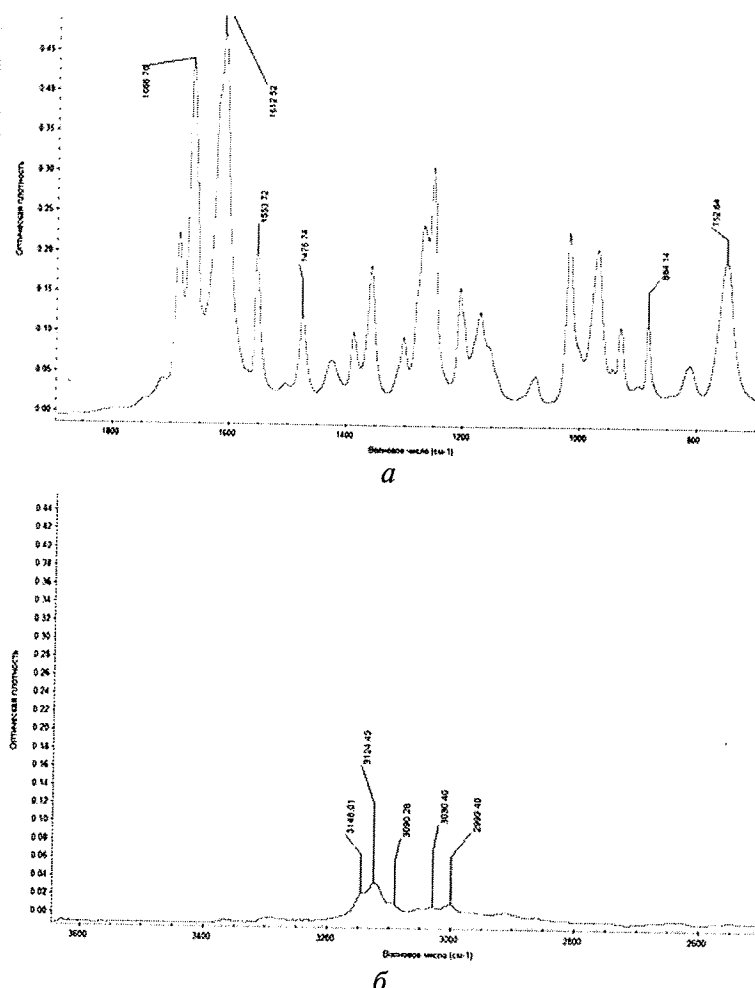
Полосы поглощения 700—1400 cm^{-1} являются характеристичными, поскольку в этом

диапазоне присутствуют валентные и деформационные колебания связей C—O и углеродного скелета, деформационные колебания связей =C—H в боковой цепи, а также комбинационные колебания.

При изучении образцов МФА_1а и МФА_2а сигналы в области 3025—3070 cm^{-1} , соответствующие валентным колебаниям связей =C—H в двойных связях боковых цепей, перекрываются сигналами валентных колебаний N—H в области 2920—3000 cm^{-1} , а полосы поглощения колебаний двойной C=C-связи в области 1610—1618 cm^{-1} значительно уменьшаются в интенсивности и сдвигаются в длинноволновую область на 10—15 cm^{-1} . Сразу после смешивания фурановой компоненты и амина во всех образцах наблюдается появление нового сигнала в области 1710—1713 cm^{-1} , соответствующего колебаниям несопряженной карбонильной группы. Однако для образцов, отверженных в печи, сигналов в этой области не наблюдалось. Во всех образцах независимо от соотношения компонентов появлялся новый сигнал в области 1503 cm^{-1} . Полоса поглощения в этой области соответствует колебаниям фуранового кольца, не сопряженного с двойными связями. На основании этих данных было сделано предположение, что в начальный момент происходит 1,4-присоединение вторичного амина по двойной связи с образованием соединения с несопряженной карбонильной группой (3), которое вступает в реакцию с первичным амином с образованием основания Шиффа (4):



Таким образом, в случае избытка фурановой компоненты по отношению к амину должен наблюдаться сигнал свободной карбонильной группы и после отверждения. Это предположение было подтвержде-



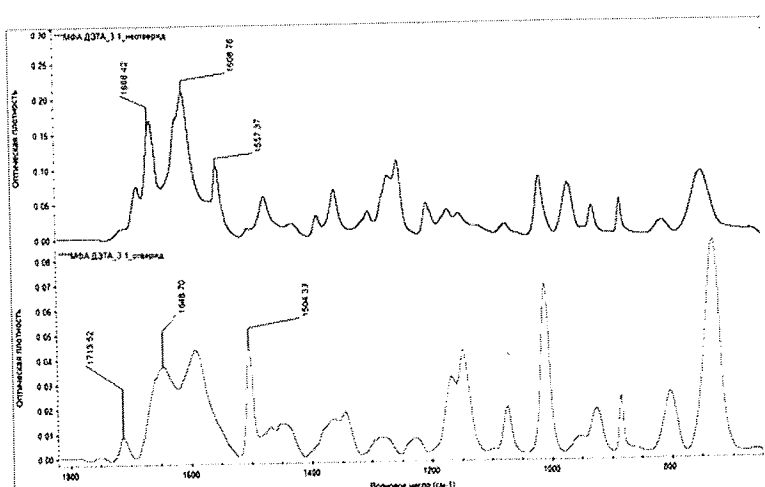


Рис. 2. ИК-спектры образца композиции МФА_3а до и после отверждения. Область 500–1800 см⁻¹

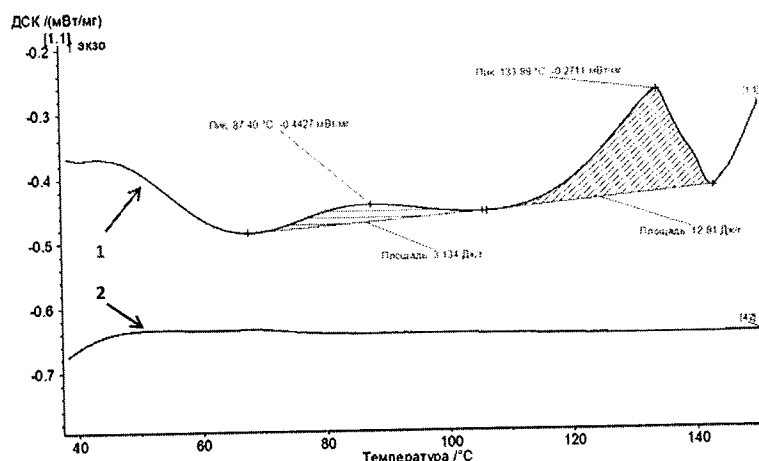


Рис. 3. Результаты ДСК для образцов композиций МФА_1а (1) и МФА_16 (2)

с МФА. Помимо этого, в отверженных композициях с ДФА и ФА-смолой появлялись новые полосы в области 1706–1710 см⁻¹ и полоса 1505 см⁻¹, соответствующая колебаниям фуранового кольца, не сопряженного с двойными связями.

Реакции отверждения фурановых соединений под действием аминов были изучены методом ДСК (табл. 2 и рис. 3). В случае МФА_1а (см. рис. 3, кривая 1) видны два экзотермических пика отверждения. Мы предполагаем, что в диапазоне температур от 65 до 105 °С происходит первая реакция присоединения по механизму 1,4, а второй пик соответствует процессу образования имина. По завершении реакции кривая не выходит на плато вследствие того, что при температурах выше 150 °С происходит испарение непрореагировавше-

го диэтилентриамина. Анализ массы образцов, отверженных в печи, до и после полимеризации показал уменьшение массы после отверждения, вызванного испарением воды в процессе реакции, что согласуется с нашей гипотезой об образовании основания Шиффа в процессе отверждения.

При использовании изо-МТГФА в качестве отвердителя также были получены твердые и хрупкие образцы, для которых не наблюдалось новых сигналов в ИК-спектре ни в момент смешивания, ни после температурной обработки в печи. Из этого следует предположить, что реакции между фурановой составляющей и ангидридом не происходит. Дополнительным подтверждением отсутствия реакции служит кривая 2 на рис. 3.

Заключение

Изучение механизма реакции отверждения фурфуролацетоновых смол отвердителями аминного и ангидридного типа, применяемыми обычно для эпоксидных смол, позволило сделать следующие выводы. В начальный момент времени после добавления диэтилентриамина к фурфуролацетоновой смоле происходит 1,4-присоединение к компонентам ФА-смолы с образованием несопряженной карбонильной группы, которая, в свою очередь, вступает в реакцию с первичным амином с образованием основания Шиффа. Таким образом, фурфуролацетоновая смола реагирует с алифатическими аминами, что необходимо учитывать при расчете количества отвердителя в композициях с эпоксидной смолой. Взаимодействие амина с карбонильной группой и присоединение по двойной связи происходит с участием активного водорода аминогруппы. Теоретически, каждая первичная аминогруппа способна вступить в реакцию с одной карбонильной группой или двумя двойными связями, а каждая группа вторичного амина с одной двойной связью. Исходя из этих соображений, мож-

но рассчитать требуемое количество отвердителя в каждом конкретном случае. Однако следует помнить, что в большинстве случаев используется нестехиометрическое количество отвердителя, которое определяется исходя из технологических требований к процессу формования изделия.

В случае ИМТГФА реакции ни с компонентами фурфуролацетоновой смолы (МФА и ДФА), ни с самой фурфуролацетоновой смолой не происходит. Возможно, в присутствии эпоксидной смолы будет протекать совместное отверждение за счет раскрытия ангидридного цикла с образованием кислоты, но это предположение требует дополнительного изучения.

СПИСОК ЛИТЕРАТУРЫ

1. Бородулин А.С., Малышева Г.В., Романова И.К. Оптимизация реологических свойств связующих, используемых при формировании изделий из стеклопластиков методом вакуумной инфильтрации // Клеи. Герметики. Технологии. 2015. № 3. С. 40–44.
2. Бородулин А.С. Пластификаторы для эпоксидных kleев и связующих // Клеи. Герметики. Технологии. 2012. № 7. С. 31–35.
3. Чуднов И.В. Исследование свойств полимерных связующих термоаналитическими методами // Энциклопедия инженера-химика. 2013. № 4. С. 30–35.
4. Малышева Г.В. Физическая химия адгезивов // Материаловедение. 2005. № 3. С. 9–14.
5. Bodrykh N.V., Malysheva G.V. Repair of starter storage batteries // Polymer Science — Series D. 2010. 3 (1), pp. 70–73.
6. Буянов И.А., Чуднов И.В. Разработка новых материалов на основе термопластов и эпоксидных олигомеров и исследование их свойств методами термического анализа // Все материалы. Энциклопедический справочник. 2013. № 4. С. 42–45.
7. Бессонов И.В., Полежаев А.В., Кузнецова М.Н., Нелиуб В.А., Буянов И.А., Чуднов И.В., Бородулин А.С. Реологический и термический анализ низковязких эпоксибурановых композиций // Клеи. Герметики. Технологии. 2013. № 4. С. 29–33.
8. Нелиуб В.А., Карасева А.А., Боченкова А.А. Конструкционные стеклопластики на основе полизифирной матрицы // Все материалы. Энциклопедический справочник. 2012. № 7. С. 46–49.
9. Бессонов И.В., Копицына М.Н., Нелиуб В.А. Синтез фурфуролиденацетонов и их использование в качестве активных разбавителей при получении эпоксидных смол // Журнал общей химии. 2014. Т. 84. № 12. С. 2023–2028.
10. Бессонов И.В., Нелиуб В.А., Буянов И.А., Чуднов И.В., Бородулин А.С. Разработка технологической базы для производства синтетических связующих на основе растительного биовозобновляемого сырья // Клеи. Герметики. Технологии. 2012. № 8. С. 47–48.
11. Gonzalez M.G., Cabanelas J.C., Baselga J. // Infrared Spectroscopy — Materials Science, Engineering and Technology. 2012. N 4. P. 261–285.

КОНФЕРЕНЦИИ В МОСКВЕ, ОРГАНИЗУЕМЫЕ КОМПАНИЕЙ CREON ENERGY

Древесно-Полимерные композиты 2015

Дата проведения: 21 декабря 2015

Полимеры в дорожном строительстве 2015

Дата проведения: 13 ноября 2015

С программами мероприятий можно ознакомиться на сайте компании:

www.creonenergy.ru